

GENERALIZAÇÃO DE UM ÍNDICE DE INTENSIDADE DE INFECÇÃO EM EXPERIMENTOS DE AVALIAÇÃO DE DOENÇAS EM PLANTAS¹

ANA BEATRIZ COSTA CZERMINSKI²

RESUMO - Em experimentos de avaliação de doenças em plantas é comum a classificação de indivíduos de cada parcela experimental, segundo classes de uma escala quantitativa discreta, mediante avaliação visual da severidade de doença. O objetivo deste trabalho foi apresentar a generalização de uma medida que associa uma resposta quantitativa denominada índice de intensidade de infecção, o qual é expresso por $I = \text{sen}^2 \omega$, a cada distribuição de freqüências obtida nas parcelas, e cuja transformação angular $\omega = \text{arcosen} \sqrt{I}$ pode ser submetida à análise da variação. Desde que o cálculo de ω não envolve os valores ou notas da escala, ele pode ser aplicado também a uma escala qualitativa ordinal.

Termos para indexação: medida de infecção, doenças de plantas, transformação angular.

GENERALIZATION OF AN INDEX OF INFECTION INTENSITY IN PLANT DISEASE EXPERIMENTS

ABSTRACT - In plant disease experiments, individuals of each experimental unit are commonly classified according to categories of a discrete quantitative scale through visual assessment of disease severity. This paper shows the generalization of a measure that associates a quantitative response called infection intensity index, expressed as $I = \text{sen}^2 \omega$, to each distribution of frequencies obtained in the units. Its angular transformation $\omega = \text{arcesen} \sqrt{I}$ allows the application of the analysis of variance. Since the calculation of ω does not involve the values or notes of the scale it can also be used with a qualitative ordinal scale.

Index terms: infection measure, plant disease, angular transformation.

INTRODUÇÃO

Em experimentos fitossanitários é comum a classificação de indivíduos amostrados tais como folhas, ramos, frutos, flores, segundo notas de uma escala discreta preestabelecida, correspondentes a faixas de severidade de doença. A classificação dessas unidades amostrais em geral ocorre mediante avaliação visual e resultam na contagem de elementos ou incidência por classe. Alguns recursos estão disponíveis para a análise dessas variáveis categóricas como tabelas de contingência, onde freqüências são analisadas

¹ Aceito para publicação em 26 de fevereiro de 1999.

² Eng. Agr., M.Sc., Embrapa-Centro Nacional de Pesquisa de Uva e Vinho (CNPUV), Caixa Postal 130, CEP 95700-000 Bento Gonçalves, RS. E-mail: ana@cnpuv.embrapa.br

ao invés de dados quantitativos (Eskridge, 1995). Porém, quando os dados provêm de um delineamento experimental, é natural a busca de um índice de intensidade de doença que represente a distribuição de freqüências obtida em cada unidade experimental, de modo a associá-la a uma resposta quantitativa que possa ser submetida à análise da variação, uni ou multivariada, ou correlacionada a outras variáveis quantitativas. O termo “intensidade”, que envolve atributos de incidência e severidade, é usado aqui como uma caracterização geral de medida de doença numa área específica, conforme Seem (1984).

Em experimentos de respostas dicotômicas, isto é, com escala de valores 0 e 1, exprimindo ausência e presença de doença, a transformação angular pode ser aplicada às porcentagens de indivíduos com doença, obtidas em cada unidade experimental, para posterior análise de variação (Cochran, 1943; Bartlett, 1947). Hughes & Madden (1995) compararam alguns métodos de avaliação de dados binários como medida de incidência.

Em escalas com três notas, ou mais, essa resposta quantitativa é obtida comumente pela média ponderada das notas, sendo também usual o cálculo de um “índice de doença”, proposto por McKinney (1923), que consiste no seguinte:

$$ID = \frac{\sum_{k=1}^K F_k x_k}{n \cdot x_K}$$

onde F_k representa o número de indivíduos da amostra com nível de infecção x_k , $k=1, \dots, K$, na parcela; n é o número total de indivíduos na amostra; x_K é o valor numérico máximo da escala empregada. O ID é proporcional à média ponderada das notas, pois corresponde à razão entre ela e a nota máxima da escala adotada, e pode ser expresso em porcentagem. Embora o autor tenha proposto o cálculo de ID para a escala 0, 0,75, 1, 2 e 3, na avaliação de sintomas por *Helminthosporium sativum* em trigo, a medida é usada para outras escalas, em outros cultivos. Na literatura, encontra-se o ID submetido à análise da variação com e sem o uso da transformação angular.

Amaral (1969) alertou para a impropriedade de se submeter os dados resultantes da fórmula de McKinney (1923) à análise da variação, e propôs um índice de intensidade de infecção (I) para escalas de quatro categorias, expresso por $I=\text{sen}^2\omega$, cuja transformação angular $\omega=\text{arcsen}\sqrt{I}$ pode ser submetida à análise da variação e procedimentos de análise estatística subsequentes. A variável ω é calculada por:

$$\omega=0,39 \text{ arcsen} \sqrt{f_1} + 0,22 \sqrt{p_{1,3}} \text{ arcsen} \sqrt{f_2} + 0,39 \sqrt{p_{2,3}} \text{ arcsen} \sqrt{f_3},$$

onde as freqüências relativas f_j são frações das freqüências absolutas (F_j), expressas por: $f_1=(F_1+F_2+F_3)/n$, $f_2=(F_2+F_3)/(F_1+F_2+F_3)$ e $f_3=F_3/(F_1+F_2+F_3)$; $p_{1,3}=p_1+p_2+p_3$ e $p_{2,3}=p_2+p_3$ e p_1 , p_2 e p_3 são as probabilidades de infecção fraca ($x_1=1$), regular ($x_2=2$) e forte ($x_3=3$), respectivamente, por indivíduo da parcela cujo índice de infecção está sendo determinado. Essas probabilidades são desconhecidas, e devem ser estimadas pelas freqüências relativas

correspondentes F_j/n . As constantes $k_1=0,39$, $k_2=0,22$ e $k_3=0,39$ são pesos determinados a partir da atribuição do valor teórico máximo de I correspondente a cada nota da escala (Amaral, 1969). O autor propôs o índice I particularmente para escalas de quatro categorias, isto é, os pesos k_j são específicos para este caso.

Silva (1969) abordou a validade estatística do índice I, constatando, através de um exemplo, a normalidade das observações e a homogeneidade de variância, requisitos estes não assegurados com o índice antigo (McKinney, 1923). Não se encontram, porém, aplicações na literatura científica, e pesquisadores seguem usando a média ponderada ou o “índice de McKinney” como medida da intensidade de doença e submetendo-os à análise da variação.

Em experimentos com videiras, por exemplo, as avaliações fitossanitárias são baseadas em escalas categóricas convencionadas distintamente para as diferentes doenças. Em caso de antracose, utiliza-se uma escala de quatro notas (0, 1, 2 e 3); para míldio nas folhas é usada uma escala de doze notas (0, 5, 10(10)...100); para podridões no cacho (botritis, míldio e glomerela) é usada escala de seis notas (de 0 = “sem sintoma” até 5 = “mais de 50% de podridão”). Assim, tornou-se necessário estabelecer o cálculo de ω para escalas de mais de quatro classes.

Este trabalho teve por objetivo apresentar a generalização do índice de intensidade de infecção (I) proposto por Amaral (1969) para escalas discretas ou escalas qualitativas ordinais.

MÉTODO

A Tabela 1 representa a estrutura de respostas da classificação de n indivíduos por parcela, segundo $J+1$ categorias x_j , $j=0,...,J$, (uma classe de ausência de doença e J classes de presença de doença), onde x_0 significa “ausência da doença” ou “sem sintomas” e x_J a classe de intensidade máxima dentro do critério adotado. As contagens ou freqüências de indivíduos em cada classe da escala ordinal (crescente) estão representadas por F_0 (número de unidades “sem infecção” ou “sem sintoma”), F_1 (número de unidades no nível mais baixo de severidade de infecção), F_2 , etc., até F_J (número de unidades no nível mais alto de severidade de infecção). Por facilidade de

TABELA 1. Estrutura de respostas (freqüências absolutas) da classificação de n indivíduos por unidade experimental, segundo classes de severidade de doença (x_j).

| Parcela | Classe | | | | | Total |
|-----------|--------|-------|-------|-----|-------|-------|
| | x_0 | x_1 | x_2 | ... | x_J | |
| Parcela 1 | F_0 | F_1 | F_2 | ... | F_J | n |
| Parcela 2 | F_0 | F_1 | F_2 | ... | F_J | n |
| ... | ... | ... | ... | ... | ... | ... |
| Parcela p | F_0 | F_1 | F_2 | ... | F_J | n |

demonstração algébrica e como o cálculo é efetuado por parcela, foi suprido o índice que a representa.

Generalizando ω para escalas de $J+1$ classes (uma classe referente à ausência de doença e J classes de presença de doença) tem-se

$$\omega = \sum_{j=1}^J k_j \sqrt{p_{j-1,j}} \arcsen \sqrt{f_j} .$$

Os termos f_j e $p_{j,J}$ são obtidos dos dados observados conforme definido por Amaral (1969), ou seja, $f_j = (F_j + F_{j+1} + \dots + F_J) / (F_{j-1} + F_j + F_{j+1} + \dots + F_J)$, $j=1, \dots, J$ e $p_{j-1,j} = p_j + p_{j+1} + \dots + p_J$, $j=1, \dots, J$, ressaltando-se que, sendo as probabilidades p_j estimadas por F_j/n , então $p_{0,J} = 1$ e $p_{1,J} = f_1$. Supondo que os n indivíduos de uma parcela tenham igual probabilidade de serem classificados nas J categorias referentes à presença de doença, o valor máximo que I assume é j/J , ou seja, para a classe x_1 , $\max(I)=1/J$; para x_2 , $\max(I)=2/J$; ...; para x_J , $\max(I)=1$. Note-se que, se os n indivíduos forem classificados em x_0 , $I=0$ e $\omega=0$. Estabelecidos os valores máximos $I=j/J$, determinam-se os valores de $\omega = \arcsen \sqrt{j/J}$. Mas, como $\omega = \sum_{j=1}^J k_j \sqrt{p_{j-1,j}} \arcsen \sqrt{f_j}$, resulta que $\arcsen \sqrt{j/J} - \sum_{j=1}^J k_j \sqrt{p_{j-1,j}} \arcsen \sqrt{f_j} = 0$.

Na hipótese de $\max(I)$, para j fixado (j'), $p_{j'-1,j}=1$ e $f_{j'}=1$ e a igualdade anterior fica $\arcsen \sqrt{j'/J} - 90 \sum_{j \leq j'} k_j = 0$. Ou, o que é o mesmo,

$$k_1 = (\arcsen \sqrt{1/J})/90$$

$$k_2 = (\arcsen \sqrt{2/J})/90-k_1$$

$$k_3 = (\arcsen \sqrt{3/J})/90-k_1-k_2$$

... ...

$$k_J = (\arcsen \sqrt{J/J})/90-k_1-k_2-\dots-k_{J-1} = 1 - \sum_{j=1}^{J-1} k_j .$$

A partir desse sistema de J equações e J incógnitas, são calculados, seqüencialmente, os valores k_j , $j=1, \dots, J$. Com a obtenção dos pesos k_j , dispõe-se de todos os elementos para o cálculo de ω , para escalas com qualquer número de categorias. Na Tabela 2 são apresentados os valores numéricos dos pesos k_j para escalas de $J+1=3$ a até $J+1=12$ categorias por serem estes tamanhos de escala observados em experimentos de avaliação de doenças em plantas. Na prática, o que é calculado é ω e, em experimentos, as análises são efetuadas com esta medida que corresponde à transformação angular do índice de infecção I de fato associado à unidade experimental. Os resultados e conclusões referentes às médias de tratamentos são então expressas na escala original de I , pela transformação inversa $\bar{I}_t = \sen^2 \bar{\omega}_t$.

APLICAÇÃO

Para ilustrar o cálculo e aplicação do índice de intensidade de infecção, foram utilizados os resultados de dois experimentos desenvolvidos na

Embrapa-Centro Nacional de Pesquisa de Uva e Vinho (CNPUV), ambos delineados em blocos completos com parcelas casualizadas.

No ensaio 1, foram pesquisados os efeitos de doze métodos de poda verde (T₁, T₂,...,T₁₂) sobre a sanidade da uva 'Merlot'. Procedeu-se à avaliação visual de 50 cachos por parcela, nas três repetições por tratamento, seguindo-se escala de seis classes de severidade a saber: x₀=0 ou "sem sintoma"; x₁=1 ou "1 a 5% de podridão"; x₂=2 ou "5 a 10% de podridão"; x₃=3 ou "10 a 25% de podridão"; x₄=4 ou "25 a 50% de podridão" e x₅=5 ou "mais de 50% de podridão". Os resultados da contagem de cachos estão na Tabela 3, com o resultado do cálculo de ω e da média do índice I por tratamento. No ensaio 2, foram aplicados dez métodos de desfolha (D₁, D₂,...,D₁₀), em quatro repetições de plantas da cultivar Pinot Noir e foram avaliados, quanto à severidade de doença, todos os cachos da parcela, seguindo-se a mesma escala do ensaio 1, resultando nas distribuições de frequências e valores de ω e da média de I da Tabela 4. Nos dois ensaios, foram calculados também os índices de doença (ID) segundo a fórmula de McKinney (1923) (Tabelas 3 e 4), a fim de se efetuarem comparações entre ω e ID.

Utilizando-se os dados das três repetições do tratamento 1 do ensaio 1, são apresentadas planilhas mostrando as etapas para a obtenção de ω (Tabelas 5 e 6). A bateria de cálculos pode parecer pesada, mas os computadores a tornam simples e rápida, seja por meio de planilhas de cálculo, ou por meio de aplicativos como o SAS (SAS Institute, 1990), utilizado neste trabalho.

Para verificar a validade de ω e do ID numa análise de variância, procedeu-se aos testes das hipóteses de normalidade dos erros experimentais e de homogeneidade de variâncias de tratamentos. Foram obtidas as estimativas dos erros experimentais (resíduos) associados a cada medida, com base no modelo do delineamento adotado. Nos testes de normalidade, usaram-se diagramas de dispersão dos resíduos padronizados contra quantis normais, e o teste do coeficiente de correlação, entre essas medidas (Filliben, 1975).

TABELA 2. Pesos k_j utilizados no cálculo de ω , de acordo com o número de classes referentes à presença de infecção, para escalas de três a doze categorias.

| J=1,...,J | Número de classes referentes à presença de infecção (J) | | | | | | | | | |
|-----------|---|-------|-------|-------|-------|-------|-------|-------|-------|-------|
| | 2 | 3 | 4 | 5 | 6 | 7 | 8 | 9 | 10 | 11 |
| 1 | 0,5 | 0,392 | 0,333 | 0,295 | 0,268 | 0,247 | 0,230 | 0,216 | 0,205 | 0,195 |
| 2 | 0,5 | 0,216 | 0,167 | 0,141 | 0,124 | 0,112 | 0,103 | 0,096 | 0,090 | 0,085 |
| 3 | | 0,392 | 0,167 | 0,128 | 0,108 | 0,095 | 0,086 | 0,079 | 0,074 | 0,069 |
| 4 | | | 0,333 | 0,141 | 0,108 | 0,091 | 0,080 | 0,073 | 0,067 | 0,062 |
| 5 | | | | 0,295 | 0,124 | 0,095 | 0,080 | 0,071 | 0,064 | 0,059 |
| 6 | | | | | 0,268 | 0,112 | 0,086 | 0,073 | 0,064 | 0,058 |
| 7 | | | | | | 0,247 | 0,103 | 0,079 | 0,067 | 0,059 |
| 8 | | | | | | | 0,230 | 0,096 | 0,074 | 0,062 |
| 9 | | | | | | | | 0,216 | 0,090 | 0,069 |
| 10 | | | | | | | | | 0,205 | 0,085 |
| 11 | | | | | | | | | | 0,195 |

Para verificar a homogeneidade de variâncias, usou-se o teste de Bartlett (Silva, 1969).

Nas Figs. 1 e 2 estão os gráficos de resíduos padronizados (A – associados ao ω e B – associados ao ID) contra os quantis normais correspondentes, nos ensaios 1 e 2, respectivamente. Pelo julgamento visual dos gráficos A, supôs-se a normalidade dos erros associados às observações ω , em am-

TABELA 3. Número de cachos por classe de severidade de doença, valores de ω por parcela, médias do índice de infecção por tratamento (\bar{I}_t) e índice de doença (ID) por parcela, para o ensaio 1.

| Tratamento | Bloco | Número de cachos (F_j) por classe de severidade (x_j) | | | | | | ω | $\bar{I}_t = \text{sen}^2 \bar{\omega}_t$ | ID |
|------------|-------|---|-------|-------|-------|-------|-------|----------|---|------|
| | | x_0 | x_1 | x_2 | x_3 | x_4 | x_5 | | | |
| T1 | 1 | 19 | 9 | 4 | 5 | 6 | 7 | 39,2180 | 18,78 | 36,4 |
| | 2 | 41 | 4 | 3 | 1 | 0 | 1 | 16,9012 | 7,2 | |
| | 3 | 40 | 6 | 0 | 0 | 2 | 2 | 20,9130 | | 9,6 |
| T2 | 1 | 34 | 4 | 5 | 1 | 2 | 4 | 27,2391 | 18,93 | 18,0 |
| | 2 | 33 | 8 | 1 | 4 | 3 | 1 | 23,2331 | | 15,6 |
| | 3 | 31 | 7 | 8 | 1 | 0 | 3 | 26,9091 | | 16,4 |
| T3 | 1 | 36 | 6 | 4 | 2 | 1 | 1 | 19,8423 | 14,24 | 11,6 |
| | 2 | 37 | 3 | 4 | 4 | 1 | 1 | 20,7335 | | 12,8 |
| | 3 | 31 | 10 | 3 | 1 | 2 | 3 | 25,9350 | | 16,8 |
| T4 | 1 | 36 | 11 | 2 | 0 | 1 | 0 | 14,3822 | 6,23 | 7,6 |
| | 2 | 45 | 4 | 1 | 0 | 0 | 0 | 6,6237 | | 2,4 |
| | 3 | 36 | 6 | 3 | 1 | 2 | 2 | 22,3457 | | 13,2 |
| T5 | 1 | 34 | 10 | 1 | 2 | 2 | 1 | 20,9105 | 17,50 | 9,6 |
| | 2 | 31 | 7 | 6 | 2 | 1 | 3 | 26,3027 | | 11,6 |
| | 3 | 28 | 11 | 3 | 2 | 4 | 2 | 26,9683 | | 10,8 |
| T6 | 1 | 20 | 16 | 5 | 4 | 2 | 3 | 30,9141 | 21,77 | 24,4 |
| | 2 | 35 | 6 | 4 | 3 | 0 | 2 | 23,3962 | | 13,2 |
| | 3 | 32 | 7 | 2 | 3 | 1 | 5 | 29,1256 | | 19,6 |
| T7 | 1 | 33 | 4 | 4 | 5 | 3 | 1 | 24,2144 | 20,57 | 17,6 |
| | 2 | 26 | 9 | 4 | 6 | 1 | 4 | 30,8933 | | 23,6 |
| | 3 | 38 | 2 | 2 | 2 | 2 | 4 | 25,8134 | | 16,0 |
| T8 | 1 | 29 | 9 | 6 | 1 | 1 | 4 | 28,3628 | 26,40 | 19,2 |
| | 2 | 27 | 5 | 8 | 2 | 3 | 5 | 32,4101 | | 25,6 |
| | 3 | 32 | 5 | 3 | 2 | 1 | 7 | 31,9770 | | 22,4 |
| T9 | 1 | 36 | 6 | 5 | 1 | 0 | 2 | 22,2233 | 9,37 | 11,6 |
| | 2 | 37 | 5 | 4 | 3 | 0 | 1 | 20,0156 | | 10,8 |
| | 3 | 41 | 6 | 1 | 2 | 0 | 0 | 11,2342 | | 5,6 |
| T10 | 1 | 38 | 9 | 1 | 1 | 0 | 1 | 17,4690 | 7,49 | 7,6 |
| | 2 | 43 | 4 | 0 | 1 | 0 | 2 | 18,6650 | | 6,8 |
| | 3 | 44 | 2 | 3 | 0 | 1 | 0 | 11,5300 | | 4,8 |
| T11 | 1 | 32 | 9 | 2 | 1 | 2 | 4 | 27,2144 | 12,51 | 17,6 |
| | 2 | 37 | 8 | 2 | 2 | 0 | 1 | 18,8302 | | 9,2 |
| | 3 | 32 | 11 | 4 | 3 | 0 | 0 | 16,1020 | | 11,2 |
| T12 | 1 | 33 | 3 | 5 | 1 | 1 | 7 | 31,8837 | 28,09 | 22,0 |
| | 2 | 24 | 5 | 7 | 7 | 3 | 4 | 33,4369 | | 28,8 |
| | 3 | 35 | 3 | 3 | 0 | 3 | 6 | 30,6891 | | 20,4 |

bos os ensaios. A normalidade foi confirmada pelos coeficientes de correlação: $r_1=0,984$ e $r_2=0,986$, não-significativos, respectivamente, nos ensaios 1 e 2 (os valores críticos correspondentes são $\rho_1=0,969$ e $\rho_2=0,972$ para $\alpha=0,05$). No teste da hipótese de homogeneidade de variâncias de tra-

TABELA 4. Número de cachos por classe de severidade de doença, valores de ω por parcela, médias do índice de infecção por tratamento (\bar{I}_t) e índice de doença (ID) por parcela, para o ensaio 2.

| Tratamento | Bloco | Número de cachos (F_j) por classe de severidade (x_j) | | | | | | ω | $\bar{I}_t = \text{sen}^2 \bar{\omega}_t$ | ID |
|------------|-------|---|-------|-------|-------|-------|-------|----------|---|-------|
| | | x_0 | x_1 | x_2 | x_3 | x_4 | x_5 | | | |
| D1 | 1 | 17 | 19 | 9 | 11 | 11 | 23 | 49,0703 | 60,21 | 50,89 |
| | 2 | 12 | 29 | 7 | 8 | 7 | 31 | 52,5828 | | 53,19 |
| | 3 | 7 | 13 | 13 | 13 | 13 | 10 | 48,2519 | | 52,17 |
| | 4 | 2 | 22 | 3 | 7 | 6 | 15 | 53,6712 | | 53,82 |
| D2 | 1 | 7 | 11 | 8 | 5 | 6 | 9 | 47,1882 | 57,07 | 48,26 |
| | 2 | 8 | 27 | 12 | 4 | 6 | 16 | 47,7433 | | 45,75 |
| | 3 | 12 | 11 | 9 | 8 | 16 | 9 | 46,2985 | | 49,85 |
| | 4 | 7 | 8 | 4 | 9 | 9 | 18 | 55,0352 | | 61,45 |
| D3 | 1 | 1 | 6 | 4 | 12 | 6 | 38 | 68,0901 | 62,35 | 78,81 |
| | 2 | 17 | 11 | 15 | 15 | 5 | 12 | 44,0926 | | 44,27 |
| | 3 | 12 | 15 | 18 | 9 | 18 | 16 | 48,7083 | | 52,27 |
| | 4 | 10 | 19 | 8 | 7 | 3 | 15 | 47,7074 | | 46,13 |
| D4 | 1 | 2 | 14 | 14 | 9 | 12 | 7 | 49,4113 | 48,91 | 52,41 |
| | 2 | 6 | 15 | 14 | 15 | 15 | 9 | 48,0801 | | 52,16 |
| | 3 | 12 | 32 | 15 | 8 | 5 | 3 | 35,6990 | | 32,27 |
| | 4 | 9 | 20 | 16 | 9 | 5 | 10 | 44,3217 | | 43,19 |
| D5 | 1 | 6 | 21 | 7 | 4 | 5 | 12 | 47,8369 | 64,93 | 46,18 |
| | 2 | 6 | 19 | 11 | 9 | 11 | 36 | 58,0292 | | 63,48 |
| | 3 | 6 | 18 | 18 | 17 | 15 | 53 | 60,3349 | | 67,72 |
| | 4 | 9 | 13 | 7 | 6 | 6 | 13 | 48,5479 | | 49,63 |
| D6 | 1 | 14 | 19 | 10 | 12 | 9 | 16 | 46,8234 | 55,42 | 47,75 |
| | 2 | 5 | 13 | 12 | 9 | 8 | 4 | 43,8560 | | 45,49 |
| | 3 | 2 | 21 | 15 | 14 | 15 | 34 | 58,5777 | | 63,96 |
| | 4 | 9 | 16 | 15 | 9 | 3 | 8 | 43,1886 | | 41,67 |
| D7 | 1 | 18 | 19 | 11 | 4 | 3 | 14 | 43,0848 | 35,30 | 39,13 |
| | 2 | 22 | 30 | 11 | 9 | 15 | 6 | 38,1327 | | 36,34 |
| | 3 | 10 | 8 | 8 | 8 | 2 | 0 | 30,2504 | | 31,11 |
| | 4 | 25 | 15 | 3 | 1 | 3 | 7 | 34,3377 | | 26,30 |
| D8 | 1 | 1 | 0 | 2 | 9 | 10 | 52 | 74,8731 | 80,56 | 89,46 |
| | 2 | 4 | 9 | 18 | 18 | 15 | 27 | 57,2483 | | 64,62 |
| | 3 | 7 | 9 | 7 | 9 | 8 | 38 | 61,3753 | | 69,74 |
| | 4 | 2 | 10 | 8 | 5 | 16 | 28 | 61,8614 | | 71,01 |
| D9 | 1 | 1 | 3 | 9 | 10 | 14 | 44 | 68,2868 | 65,65 | 80,74 |
| | 2 | 23 | 33 | 20 | 15 | 10 | 25 | 45,6845 | | 44,92 |
| | 3 | 7 | 10 | 8 | 8 | 4 | 28 | 58,2270 | | 63,38 |
| | 4 | 22 | 17 | 12 | 9 | 7 | 17 | 44,2745 | | 43,10 |
| D10 | 1 | 3 | 14 | 8 | 14 | 16 | 30 | 59,3753 | 64,22 | 67,29 |
| | 2 | 2 | 7 | 6 | 9 | 7 | 22 | 61,1416 | | 69,43 |
| | 3 | 30 | 27 | 21 | 16 | 13 | 23 | 44,1193 | | 43,69 |
| | 4 | 9 | 19 | 17 | 11 | 17 | 14 | 48,3841 | | 51,49 |

tamentos, com a variável ω , obteve-se χ^2 igual a 13,06 e 7,62, respectivamente nos ensaios 1 e 2. Os respectivos valores críticos são $\chi^2=19,68$ (11 graus de liberdade e $\alpha=0,05$) e $\chi^2=16,92$ (9 graus de liberdade e $\alpha=0,05$). Portanto, ω cumpre as pressuposições para se efetuar análise da variação em ambos os ensaios.

A observação das Figs. 1B e 2B levou a suspeitar da falta de normalidade dos resíduos associados ao ID, no ensaio 1. De fato, nesse ensaio, a hipótese distribucional de normalidade foi rejeitada ($r=0,963$ significativo para $\alpha=0,05$). A hipótese de homogeneidade de variâncias de tratamentos não foi rejeitada em nenhum dos ensaios, se considerado o nível de significância de 0,05 (os valores calculados de χ^2 foram 19,00 no ensaio 1 e 14,22 no ensaio 2). No ensaio 1, se ignorada a transgressão ao modelo adotado e efetuada a análise de variação, essa e seus desdobramentos levarão a inferências não verdadeiras no âmbito do ensaio.

Assim como a média ponderada, o ID, usado por pesquisadores em fitossanidade, depende dos valores da escala adotada, os quais são arbitrários, isto é, se estabelecida uma escala de notas igual a 0, 1, 2 e 3 ou a 1, 2, 3 e 4 (não iniciada em zero) ou a 0, 1, 3 e 5 (valores não equidistantes), todas para representar, respectivamente, “ausência de infecção”, “infecção fraca”, “infecção regular” e “infecção forte”, uma classificação idêntica de

TABELA 5. Planilha com etapas iniciais do cálculo de ω (freqüências absolutas e relativas e estimativas de probabilidades) para as repetições do tratamento T1 do ensaio 1.

| Bloco | Freqüências absolutas (F_j) | | | | | n | Freqüências relativas e estimativas de probabilidades ¹ | | | | | | | | |
|-------|---------------------------------|-------|-------|-------|-------|-------|--|-------|-------|-------|-------|-----------|-----------|-----------|------|
| | F_0 | F_1 | F_2 | F_3 | F_4 | F_5 | $f_1=p_{1,5}$ | f_2 | f_3 | f_4 | f_5 | $p_{2,5}$ | $p_{3,5}$ | $p_{4,5}$ | |
| 1 | 19 | 9 | 4 | 5 | 6 | 7 | 50 | 0,62 | 0,71 | 0,82 | 0,72 | 0,54 | 0,44 | 0,36 | 0,26 |
| 2 | 41 | 4 | 3 | 1 | 0 | 1 | 50 | 0,18 | 0,56 | 0,40 | 0,50 | 1,00 | 0,10 | 0,04 | 0,02 |
| 3 | 40 | 6 | 0 | 0 | 2 | 2 | 50 | 0,20 | 0,40 | 1,00 | 1,00 | 0,50 | 0,08 | 0,08 | 0,08 |

¹ $f_j=(F_j+F_{j+1}+\dots+F_5)/(F_{j-1}+F_j+F_{j+1}+\dots+F_5)$ e $p_{j-1,5}=p_j+p_{j+1}+\dots+p_5$, $j=1,\dots,5$, $p_{0,5}=1$.

TABELA 6. Planilha com etapas finais do cálculo de ω ($\text{arcsen}\sqrt{f_j}$, $k_j\sqrt{p_{j-1,5}}\text{arcsen}\sqrt{f_j}$ e ω) para as repetições do tratamento T1 do ensaio 1.

| Bloco | $\text{arcsen}\sqrt{f_j}^{-1}$ | | | | | $k_j\sqrt{p_{j-1,5}}\text{arcsen}\sqrt{f_j}^{-2}$ | | | | | ω^3 |
|-------|--------------------------------|-------|-------|-------|-------|---|-------|-------|-------|-------|------------|
| | $j=1$ | $j=2$ | $j=3$ | $j=4$ | $j=5$ | $j=1$ | $j=2$ | $j=3$ | $j=4$ | $j=5$ | |
| 1 | 51,94 | 57,40 | 64,76 | 58,19 | 47,21 | 15,32 | 6,37 | 5,50 | 4,92 | 7,10 | 39,22 |
| 2 | 25,10 | 48,19 | 39,23 | 45,00 | 90,00 | 7,41 | 2,88 | 1,59 | 1,27 | 3,75 | 16,90 |
| 3 | 26,57 | 39,23 | 90,00 | 90,00 | 45,00 | 7,84 | 2,47 | 3,26 | 3,59 | 3,75 | 20,91 |

¹ Arco seno da raiz quadrada da freqüência relativa (f_j) obtida na Tabela 5, com o j correspondente.

² Peso k_j obtidos na Tabela 2 para $j=5$ e freqüências relativas (f_j) e estimativas de probabilidades ($p_{j-1,5}$) obtidas na Tabela 5, com o j correspondente.

³ $\omega = \sum_{j=1}^5 k_j \sqrt{p_{j-1,5}} \text{arcsen}\sqrt{f_j}$.

n indivíduos levará a diferentes valores percentuais da medida de infecção. Por outro lado, obedecida a mesma escala de avaliação, diferentes distribuições de n indivíduos resultam no mesmo ID. As realizações dessa variável são múltiplos de $1/(n x_j)$, no intervalo $[0;100]$, o que não a caracteriza como variável contínua. As duas últimas afirmativas podem ser mais facilmente observadas com os dados do ensaio 1 (Tabela 3), onde o número n de indivíduos (cachos, nesse caso) é o mesmo em todas as parcelas.

Com a determinação do método de obtenção dos pesos k_j , necessários para o cálculo de ω , pode se obter essa medida para qualquer tamanho $J+1$ de escala. E como esse cálculo não envolve os valores ou notas da escala adotada, ω pode ser aplicado a escalas qualitativas ordinais. Essa transformação angular do índice de intensidade de infecção I cumpre os requisitos de normalidade e de homogeneidade de variâncias de tratamentos, e pode ser submetida à análise de variação e procedimentos de inferência subsequentes.

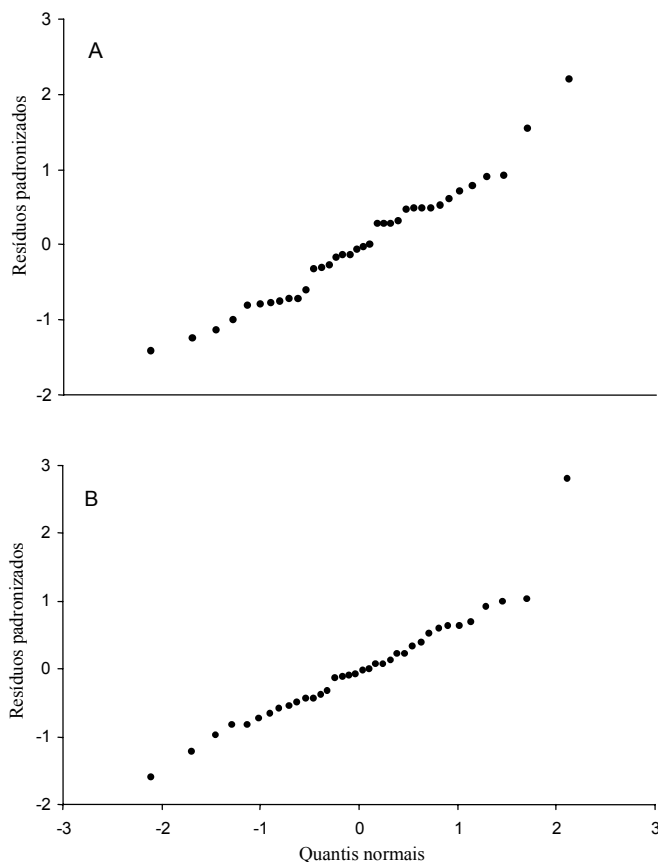


FIG. 1. Diagrama de dispersão dos resíduos padronizados associados a ω (A) e ao ID (B) contra quantis normais, no ensaio 1.

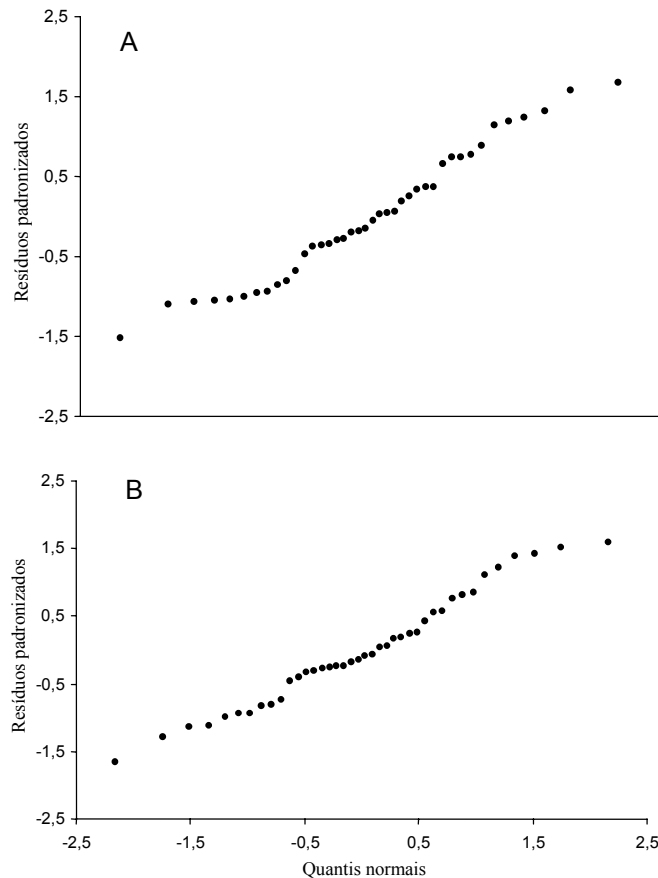


FIG. 2. Diagrama de dispersão dos resíduos padronizados associados a ω (A) e ao ID (B) contra quantis normais, no ensaio 2.

AGRADECIMENTOS

Ao pesquisador Francisco Mandelli, da Embrapa-CNPUV, por ceder dados de experimentos sob sua responsabilidade.

REFERÊNCIAS

- AMARAL, E. Novo índice de intensidade de infecção. **Pesquisa Agropecuária Brasileira**: Série Agronomia, Rio de Janeiro, v.4, n.2, p.1-2, 1969.
- BARTLETT, M.S. The use of transformations. **Biometrics**, v.3, p.39-52, 1947.
- COCHRAN, W.G. Analysis of variance for percentages based on unequal numbers. **Journal of the American Statistical Association**, v.38, p.287-301, 1943.

- ESKRIDGE, K.M. Statistical analysis of disease reaction data using nonparametric methods. **HortScience**, v.30, p.478-481, June 1995.
- FILLIBEN, J.J. The probability plot correlation coefficient test for normality. **Technometrics**, Washington, v.17, p.111-117, 1975.
- HUGHES, G.; MADDEN, L.V. Some methods allowing for aggregated patterns of disease incidence in the analysis of data from designed experiments. **Plant Pathology**, v.44, p.927-943, 1995.
- McKINNEY, H.H. Influence of soil, temperature and moisture on infection of wheat seedlings by *Helminthosporium sativum*. **Journal of Agricultural Research**, Washington, v.26, p.195-217, Nov. 1923.
- SAS INSTITUTE. **SAS language**: reference. version 6. Cary, 1990. 1042p.
- SEEM, R.C. Disease incidence and severity relationships. **Annual Review of Phytopathology**, Palo Alto, v.22, p.133-150, 1984.
- SILVA, J.G.C. da. Análise estatística de um novo índice de intensidade de infecção. **Pesquisa Agropecuária Brasileira**: Série Agronomia, Rio de Janeiro, v.4, n.2, p.3-7, 1969.